

Н. В. ЗАКАТОВА, В. А. ШАРПАТЫЙ

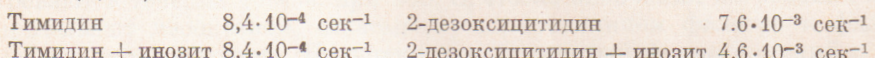
О МЕХАНИЗМЕ РАДИОЛИЗА ВОДНЫХ РАСТВОРОВ ДНК

(Представлено академиком Н. М. Эмануэлем 30 III 1971)

Основными процессами радиолитического превращения ДНК в водных растворах, как известно, являются деполимеризация (разрушение сахарофосфатных фрагментов) и декодирование (поражение азотистых оснований). Цель работы состояла в том, чтобы выяснить, во-первых, могут ли быть эти процессы связаны между собой и, во-вторых, какие продукты радиолиза воды их вызывают. За протеканием этих процессов следили по накоплению малондиальдегида * (МДА) — продукта превращения остатка 2-дезоксирибозы ⁽¹⁾, аммиака ⁽²⁾ и гидроперекисей (ГП) ^(3, 4) — продуктов превращения азотистых оснований.

Характеристики использовавшихся в работе препаратов (низкомолекулярного и высокомолекулярного) ДНК, методики приготовления растворов и их облучения описаны ранее ^(5, 6). В опытах снимались зависимости накопления продуктов радиолиза от дозы (в интервале доз от 6 до 20 крад) в растворах ДНК разных концентраций. На рис. 1 и 2 приводятся концентрационные кривые $G(\text{МДА})$, $G(\text{NH}_3)$, $G(\text{ГП})$, и $G(\text{H}_2\text{O}_2)$ в координатах **, удобных для выявления первичных стадий радиолиза ⁽⁷⁾. Концентрационные зависимости $G(\text{NH}_3)$ и $G(\text{МДА})$ с учетом переходного коэффициента удовлетворительно аппроксимируются к одной кривой (рис. 1а). В начальном интервале концентраций (до $3 \cdot 10^{-3} M$) эта кривая имеет плато, что отражает полное вовлечение в реакции продуктов радиолиза ионизированных молекул воды ⁽⁷⁾. Высокий выход дезаминирования, наблюдаемый в области концентрированных растворов ($G(\text{NH}_3) \sim 20$ молекул на 100 эв), можно объяснить вовлечением в реакции дополнительного количества радиолизированных молекул воды (возбужденных) или разложением получающихся продуктов радиолиза с образованием NH_3 . Аналогичным образом, судя по концентрационной кривой рис. 1а, происходит образование МДА. Величина выхода дезаминирования в области больших концентраций ДНК зависит от количества растворенного кислорода (рис. 1а).

При изучении пострадиационных эффектов в растворах ДНК и нуклеозидов было установлено, что МДА образуется при распаде гидроперекисей цитозинового и тиминового оснований. В случае ГП цитозина распад происходит по двум механизмам, один из которых ингибитируется инозитом, вводимым в раствор после прекращения облучения (рис. 1б). Ниже приведены константы скорости реакций образования МДА при 90° в растворах тимидина, 2-дезоксицитидина ($5 \cdot 10^{-3} M$) и тех же соединений в присутствии инозита (0,2М):



Все это позволяет объяснить наблюдавшийся ход концентрационных зависимостей $G(\text{МДА})$ и $G(\text{NH}_3)$ (рис. 1а) протеканием инициированных радикалами процессов образования и распада ГП с участием неповрежденных молекул ДНК, например, по реакции $\text{ROOH} + \text{RH} \xrightarrow{\text{O}_2} \text{RO}_2 + \text{RO} + \text{H}_2\text{O}$ с образованием МДА и NH_3 .

* Концентрация МДА определялась в образцах, сохранявшихся до момента анализа при 0° .

** По оси абсцисс — корень кубический из концентрации ДНК, выраженной в молях на 1 л в расчете на молекулярный вес одного нуклеотида ~ 300 дальтон.

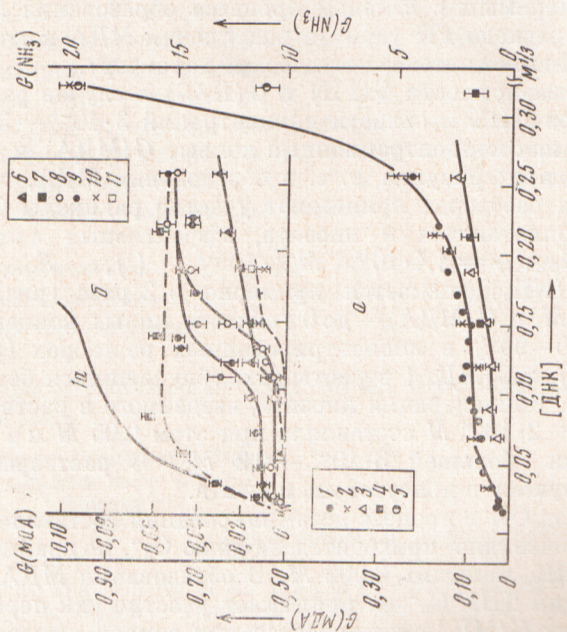


Рис. 1. Зависимость радиационно-химических выходов малого количества диалльдипениламида (МДА) и аммиака от концентрации ДНК в растворе. a — растворы насыщены $1 \cdot 10^{-2} M$ пропилгальлатом; 4 — NH_3 ; 3 — NH_3 в присутствии $0.2 \div 0.24 M$ инозита; 5 — МДА, растворы насыщены смесью O_2 и аргона (1:1). 6 — МДА, растворы насыщены: 6 — O_2 в присутствии инозита; 7 — инозит введен после облучения; 8 — аргоном; 9 — закисью азота; 10 — аргоном в присутствии инозита; 11 — аргоном в присутствии $1 \cdot 10^{-2} M$ пропилгальлатом.

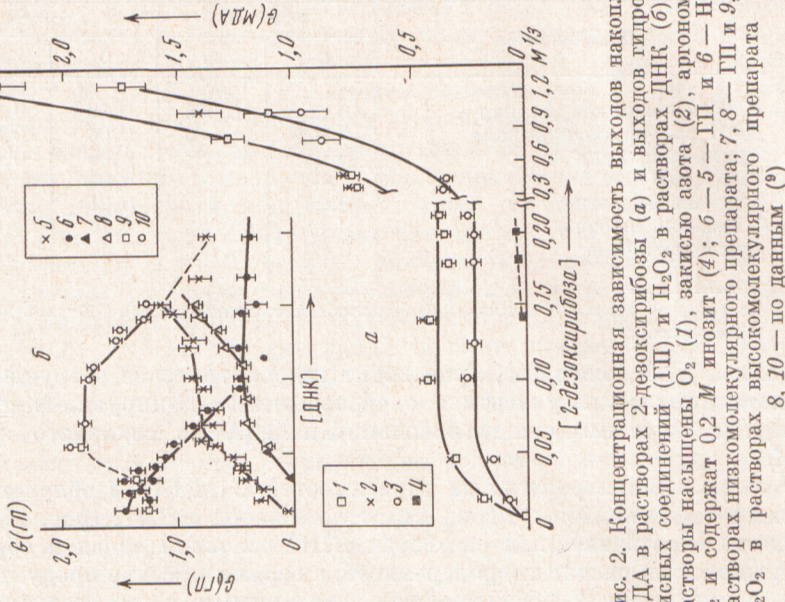


Рис. 2. Концентрационная зависимость выходов накопления МДА в растворах 2-дезоксирибозы (а) и выходов гидроперекисных соединений (ГП) и H_2O_2 в растворах ДНК (б): a — растворы насыщены O_2 (1), закисью азота (2), аргоном (3), O_2 и содеряжат $0.2 M$ инозит (4); b — ГП и H_2O_2 в растворах низкомолекулярного препарата; 7 , 8 — ГП и H_2O_2 в растворах высокомолекулярного препарата ДНК.

Инозит, так же как и пропилгальлат (^{7a}), очевидно, ингибирует процесс образования МДА и дезаминирование, выступая в качестве акцептора радикалов, образующихся при распаде гидроперекиси ДНК (^{8, 9}). Разложение ГП может происходить, вероятно, и в результате нерадикального процесса (не ингибитируется инозитом) (¹⁰) с отщеплением молекулы воды от 6-оксигидроперекиси с образованием N-пирувил-N'-формилмочевины, например, в тимине (¹¹) и его аналога в цитозине. В условиях анализа продуктов

Таблица 1
Кислородный эффект в растворах ДНК и нуклеозидов *

Соединения	3·10 ⁻⁴ M		1, 5·10 ⁻³ M	
	O ₂	Ag	O ₂	Ag
ДНК низкомолекулярная	0,05	0,005	0,09	0,03
ДНК высокомолекулярная	0,026	0,005	0,06	0,03
2-дезоксицитидин	0,04	0,02	0,08	0,02
Тимидин	—	—	0,06	0,02
2-Дезоксиаденозин	0,20	0,08	0,24	0,08
2-Дезоксигуанозин	0,11	0,08	0,16	0,08
2-Дезоксирибоза	0,30	0,14	0,40	0,20

* В случае растворов нуклеозидов использовались концентрации 1·10⁻⁴ и 3·10⁻³ M, соответственно.

радиолиза ДНК, очевидно, происходит гидролитическое разрушение пораженного пиримидиннуклеотида с образованием N-пирувил-N'-формилмочевины и затем аммиака из оснований и МДА из сахарного фрагмента ДНК.

Анализ концентрационных зависимостей $G(\text{MDA})$ в облученных растворах 2-дезоксирибозы * (рис. 2a), нуклеозидов и ДНК (рис. 1б) показывает, что в разбавленных растворах ДНК основной вклад в образование МДА вносит не распад гидроперекисей, а взаимодействие продуктов радиолиза с остатками 2-дезоксирибозы, связанными с пуриновыми основаниями.

В концентрированных растворах ДНК, вероятно, вклад процесса образования МДА за счет первичного разрушения 2-дезоксирибозного остатка в ДНК становится соизмеримым с вкладом процесса образования МДА за счет инициированного распада ГП (кривая накопления МДА в этой области концентраций ДНК имеет автокаталитический характер).

Концентрационные зависимости $G(\text{ГП})$ и $G(\text{H}_2\text{O}_2)$ в случае радиолиза аэрированных растворов ДНК в области концентраций 3·10⁻⁶—3·10⁻⁴ M антибатны (рис. 2б) и как концентрационные кривые $G(\text{MDA})$ и $G(\text{NH}_3)$ спрямляются в координатах рисунка, т. е. в образовании МДА, NH₃, ГП и H₂O₂ в аэрированных растворах принимают участие радикалы OH.

В присутствии пропилгаллата и инозита, эффективных акцепторов радикалов OH ($K_{\text{ОН+ИГ}} = 1,4 \cdot 10^{10} \text{ M}^{-1} \cdot \text{сек}^{-1}$ ⁽⁶⁾, $K_{\text{ОН+ИНОЗИТ}} = 1 \cdot 10^9 \text{ M}^{-1} \cdot \text{сек}^{-1}$) $G(\text{NH}_3)$ снижается примерно в 2 раза (рис. 1a) до концентрации 1,7·10⁻² M, а $G(\text{MDA})$ — до 0 в области малых концентраций ДНК и примерно на 80—90% в концентрированных растворах (рис. 1б) (в сравнении с $G(\text{NH}_3)$ и $G(\text{MDA})$ в растворах, облучавшихся без радиопротекторов (рис. 1a)). Концентрация инозита, введенного в раствор ДНК концентрации 3·10⁻⁵÷2·10⁻³ M составляла при этом 0,05 M и в растворах ДНК гидроперекиси не образуются в присутствии инозита.

Таким образом, вклад OH в процесс дезаминирования составляет около 50%. Остальные 50%, очевидно, приходятся на долю O₂[—], по крайней мере, при концентрациях ДНК, меньших 0,002 M. В образовании МДА в этой же области концентраций ДНК O₂[—] не принимает участия как переносчик электронов **, поскольку $G(\text{MDA})$ удваивается при замене насыщающего раствор Ag на N₂O. Вклад этого процесса в разбавленных растворах ДНК должен соответствовать разнице ординат между 8 и 9 рис. 1б.

* По данным ⁽¹²⁾ в случае растворов 2-дезоксирибозы в реакции с тиобарбитуровой кислотой регистрируется не только МДА, но и другие соединения типа 2-гидрокси-окси-циклогексанон-4.

** Можно было предположить, что O₂ выступает в качестве переносчика электрона и таким образом O₂[—] взаимодействует с нуклеотидными звеньями ДНК с образованием МДА. Тогда в дезаэрированных растворах МДА должен был бы образовываться за счет \bar{e}_{aq} .

При переходе к концентрированным растворам ДНК механизм образования МДА меняется — кривые концентрационных зависимостей $G(\text{МДА})$ для растворов, насыщенных аргоном, закисью азота и кислородом в присутствии инозита имеют характерный излом в области $(1 \div 3,5) \cdot 10^{-3} M$ ДНК (рис. 1б). Можно полагать, что в этих условиях в образовании МДА, как и в процессе дезаминирования ДНК, в аэрированных растворах в первичных стадиях радиолиза принимает участие O_2^- в качестве переносчика электронов — при атаке на азотистые основания.

Линейные анаморфозы концентрационных зависимостей $G(\text{МДА})$ и $G(\text{NH}_3)$ (3, рис. 1а; 6, рис. 1б) указывают на то, что радиопротекторы эффективно конкурируют в треках с молекулами биополимера за OH^- .

При радиолизе растворов высокомолекулярных нативных препаратов ДНК обнаруживается нарушение антибатности в ходе концентрационных кривых $G(\text{H}_2\text{O}_2)$ и $G(\text{ГП})$ в начальной области концентраций (рис. 2б, наши данные и Г. П. Жижиной⁽⁸⁾). Кривая $G(\text{H}_2\text{O}_2)$ проходит через максимум, что объясняется, по нашему мнению, эффектом структурирования раствора молекулами биополимера: образование продуктов радиолиза воды и участие их в реакциях происходит в ближайших слоях воды по отношению к ДНК.

В качестве одного из сенсибилизаторов распада радиолизованных молекул воды при радиолизе растворов ДНК, но не в растворах азотистых оснований, очевидно, может выступать и O_2^- . Об этом свидетельствует так называемый кислородный эффект, проявляющийся в большей степени в случае разбавленных растворов низкомолекулярной ДНК (7, 9, рис. 1).

Концентрационная зависимость $G(\text{МДА})$ в растворах ДНК в отсутствие O_2^- имеет вид ступенчатой кривой: первая ступенька — в интервале $1 \cdot 10^{-5} \div 2 \cdot 10^{-3} M$, вторая — начиная с $5 \cdot 10^{-3} M$ (рис. 1б). Если в первой области концентраций МДА образуется только за счет OH^- , то во второй — в образовании МДА принимает участие и восстановительная компонента радиолиза воды (кривые 7, 8, 9, рис. 1б сливаются). Дезаминирование в этом случае протекает под действием окислительной и восстановительной компонент радиолиза воды. Вклад их примерно одинаков. Величины $G(\text{NH}_3)$ в растворах ДНК, $3 \cdot 10^{-3} M$ при pH 6,5 имели следующие значения (в скобках указаны добавки):

Продукты радиолиза	$[\text{OH}^-]_{\text{aq}} (\text{Ar})$	$\text{OH}(\text{N}_2\text{O})$	$\text{OH}(\text{Ar}, \text{Cd}^{2+})$	$\text{OH}, \text{O}_2^-(\text{O}_2)$	$\text{O}_2^-(\text{O}_2, \text{инозит})$
ДНК низкомолекулярная	$1,3 \pm 0,2$	$1,3 \pm 0,3$	$0,7 \pm 0,2$	$2,2 \pm 0,2$	$1,2 \pm 0,3$
ДНК высокомолекулярная	—	—	—	$0,58 \pm 0,05$	$0,32 \pm 0,01$

Авторы признательны акад. Н. М. Эмануэлю за обсуждение результатов работы.

Институт химической физики
Академии наук СССР
Москва

Поступило
23 III 1971

ЦИТИРОВАННАЯ ЛИТЕРАТУРА

- ¹ М. И. Шальнов, Н. П. Крушинская, Тр. МОИП, 16, 99 (1966). ² Е. Џ. Conway, А. Вугле, Biochem. J., 27, 430 (1933). ³ Ј. Hochanadel, J. Phys. Chem., 56, 575 (1952). ⁴ G. M. Eisenberg, Ind. Eng. Chem. Anal. Ed., 15, 327 (1943). ⁵ В. А. Шарпатьй, М. Т. Наджимидинова и др., ДАН, 180, 412 (1968). ⁶ Н. В. Закатова, Д. Р. Минхаджидинова, В. А. Шарпатьй, Изв. АН СССР, сер. хим., 1969, 1633. ⁷ В. А. Шарпатьй, М. А. Проскуринин, Тр. II Всесоюзн. совещ. по радиационной химии, Изд. АН СССР, М., 1962, стр. 122; ^{7а} Н. М. Эмануэль, Сборн. Первичные механизмы биологического действия ионизирующих излучений, Изд. АН СССР, 2, 1963, стр. 73. ⁸ Г. П. Жижина, К. Е. Круглякова, ДАН, 180, 611 (1968). ⁹ Г. П. Жижина, Кандидатская диссертация, М., 1967. ¹⁰ J. Weiss, Organic Peroxides in Radiobiology, London — N. Y., 1958, p. 42. ¹¹ R. Teole, J. Cadet, Bull. Soc. chim. France, 1970, 927. ¹² V. Hartmann, C. V. Sonntag, D. Schulte-Frohlinde, Zs. Naturforsch., 25b, 1394 (1970).